

## قالب جزء محدود برای صفحه‌ی خمشی کیرشهف چهار پهلوی

محمد رضایی پژند<sup>۱\*</sup> و حمیدرضا محمدزاده<sup>۲</sup>

<sup>۱</sup> استاد دانشکده مهندسی، دانشگاه فردوسی مشهد

<sup>۲</sup> کارشناس ارشد دانشکده مهندسی، دانشگاه آزاد اسلامی کرمان

### چکیده

یکی از راهکارهای نوین در رابطه سازی ماتریس سختی، بهره جویی از روش قالب جزء محدود می‌باشد. در این شیوه، ماتریس سختی به دو بخش پایه و مرتبه‌ی بالا تقسیم می‌شود. بخش پایه برای اطمینان از همگرایی و بخش مرتبه‌ی بالا برای دست یافتن به مرتبه‌ی کافی و افزایش دقت پاسخ‌ها به کار می‌رسند. برای به دست آوردن ماتریس سختی پایه، باید از حالت‌های حرکتی کرنش ثابت سود جست. از سوی دیگر، برای رابطه‌سازی ماتریس سختی مرتبه‌ی بالا، باید از حالت‌های حرکتی مرتبه‌ی بالا بهره گرفت. در این بخش، سهم حرکتی حالت‌های کرنش ثابت کنار گذاشته می‌شود. در این مقاله از راهکار کرنش انحرافی طبیعی، برای رابطه‌سازی ماتریس سختی مرتبه‌ی بالا استفاده می‌شود. در فن قالب جزء محدود، ماتریس سختی پایه و مرتبه‌ی بالا باید عامل‌های آزادی را در خود جای دهند. قراردادن مقدارهای مناسب به جای این عامل‌ها شرایطی را فراهم می‌آورد که ماتریس سختی برای هندسه‌های نامنظم رفتار مناسبی داشته باشد. در این مقاله، یک ماتریس سختی جزء چهار پهلوی خمشی رابطه‌سازی می‌گردد. با بهره جستن از ماتریس سختی پیشنهادی، چندین مساله عددی تحلیل خواهد شد. نتیجه‌ها آشکار می‌سازند، جزء پیشنهادی نسبت به جزء‌های پیشین، رفتار بهتری از خود نشان می‌دهد و حساسیت کمی نسبت به کجی و جهت شبکه دارد.

**واژگان کلیدی:** قالب جزء محدود، اجزای محدود، صفحه‌ی کیرشهف، ماتریس سختی.

راهکار چگونگی رابطه‌سازی ماتریس سختی با این شیوه به نظر خوانندگان برسد. خاطر نشان می‌کند در این شیوه ماتریس سختی جزء به دو بخش پایه و مرتبه‌ی بالا تقسیم می‌شود. بخش پایه برای اطمینان از همگرایی و بخش مرتبه‌ی بالا برای دست یافتن به مرتبه‌ی کافی و رسیدن به پاسخ‌های دقیق مورد استفاده قرار می‌گیرد. لازم به ذکر است، راهکارهای به دست آوردن رابطه‌سازی سختی پایه محدود می‌باشند. در صورتی که برای ماتریس سختی مرتبه‌ی بالا می‌توان از شیوه‌های گوناگونی بهره جست. در این مقاله از روش کرنش طبیعی فرضی برای رابطه‌سازی کرنش مرتبه‌ی بالا بهره‌جویی شده است. ناگفته نماند، رابطه‌سازی ماتریس سختی، برای صفحه‌های کیرشهف صورت گرفته است. از این رو محدوده کاربرد این ماتریس سختی برای صفحه‌های نازک با تغییر شکل‌های کوچک می‌باشد. به عبارت دیگر، در رابطه‌سازی ماتریس سختی از تغییر شکل‌های برشی صرف نظر شده است. خاطر نشان می‌کند که در صورت نیاز به وارد کردن تغییر شکل‌های برشی، می‌توان از دیدگاه رایزنر-میندلین بهره جست [۱].

### ۱- مقدمه

با وجود اینکه حدود ۶۰ سال از تولد راهکار جزء محدود می‌گذرد، هر روزه راهکارهای جدیدی توسط پژوهشگران در زمینه رابطه‌سازی این دانش ارائه می‌گردد. هدف اصلی این پژوهش‌ها ارائه راهکار ساده و مناسب برای دست یافتن به ماتریس سختی بهینه برای جزها می‌باشد. از آغاز دهه ۱۹۵۰ میلادی که روش جزء محدود به طور گسترده‌ای وارد دانش مهندسی و فیزیک شده است، تا به امروز دشواری‌ها و کامیابی‌های بسیاری را پشتسر گذاشته است. هدف اصلی پژوهشگران در بهره جویی از روش جزء محدود، ارائه راهکار مناسب برای حل مسائل محیط‌های پیوسته و تحلیل تنش و کرنش در مساله‌های مهندسی بوده است. راهکار بهره جستن از تابع شکل در ارائه ماتریس سختی، دشواری‌های بسیاری را در پیش داشته است. از این رو پژوهشگران تلاش کرده‌اند که با بهره جستن از راهکارهای مناسب دیگر، روشی را ارائه دهند تا بدون بهره جویی از تابع‌های شکل بتوانند ماتریس سختی جزء را بدست آورند. از این میان، راهکار قالب جزء محدود یکی از مناسب‌ترین و جدیدترین شیوه‌های ساختن ماتریس سختی است. در این پژوهش تلاش شده است تا با بهره جستن از این

وهمچنین مقداری که این عامل‌ها در ماتریس پایه برای خود اختیار می‌کند، باید در یک شبکه یکسان باشد در غیر این صورت نمی‌توان از برآورده شدن آزمون جزء تکین اطمینان حاصل کرد [۴]. شمار عامل‌های آزاد در ماتریس سختی مرتبه بالا در صورتی که درایه‌های ماتریس سختی از دنباله‌های چند جمله‌ای به دست بیانند، نامحدود است. همچنین این عامل‌ها می‌توانند از جزئی به جزء دیگر در یک شبکه تحلیلی تغییر نماید. این کار هیچ اثر منفی در همگرایی ندارد. از آنجا که بهره جستن از یک دنباله چند جمله‌ای با جمله‌های نامحدود، در کارهای عملی امکان‌پذیر نیست، شمار این عامل‌ها کاهش می‌یابد. همچنین پیشنهاد می‌شود، عامل‌های یاد شده برای همه جزء‌ها در یک شبکه تحلیلی، یکسان فرض شوند.

### ۱-۳- رابطه‌سازی ماتریس سختی پایه

جزء چهار پهلوی نشان داده شده در شکل (۱)، مورد بررسی قرار می‌گیرد. ماتریس سختی پایه برای جزء مذکور با قراردادن یک حالت انحنای ثابت در لبه‌های جزء حاصل می‌گردد [۳ و ۵]. انحنای‌های ثابت، از لنگر ثابت در پهلوهای جزء به دست می‌آید. ماتریس سختی پایه که براساس روش قالب جزء محدود آر به دست می‌آید، به شکل زیر می‌باشد:

$$K_b = \frac{1}{A} LDL^T \quad (2)$$

در این رابطه  $A$  سطح جزء،  $D$  ماتریس مواد و  $L$  ماتریس جایگرین کننده نیرو می‌باشد. در ادامه، چگونگی به دست آوردن ماتریس  $L$  ارائه می‌گردد. برای این منظور ابتدا باید لنگرهای هر پهلو براساس لنگرهای دکارتی به دست آید. برای رسیدن به این هدف، شکل (۲) را در نظر می‌گیریم. در هر راستای اختیاری  $ij$  که زاویه  $\alpha$  نسبت به افق می‌سازد، لنگرهای هر پهلو براساس لنگرهای دکارتی محاسبه می‌شوند. لنگرهای پهلوی جزء باید به روش مناسبی با نیروهای گرهای معادل جایگزین گرددن. بردار نیروهای گرهای مذکور با اصل کار مجازی و یک میدان تغییر مکان مناسب در پهلوهای جزء به دست می‌آید. میدان جابجایی را باید به گونه‌ای تعریف نمود که سازگاری داخلی جزء را بر آورده سازد. از این رو، میدان جابجایی، تنها به درجه‌های آزادی ابتداء و انتهای هر پهلو وابستگی پیدا می‌کند. در این حالت، جمع نیروهایی که در یک گره وابسته به دو جزء کنار هم به یکدیگر می‌رسند، برابر با صفر خواهد شد، این کار سبب بر آوردن آزمون

### ۲- ویژگی کلی قالب جزء محدود

یکی از موضوع‌های دانش جزء محدود که در مزهای این دانش رو به رشد قرار دارد، بوبایی اجزای با کارایی بالا است. برای رسیدن به این هدف، از راهکار قالب جزء محدود بهره می‌جویند. این روش یک راهکار جبری در ارائه ماتریس سختی می‌باشد. در این شیوه هر جزء باید شرط‌های زیر را برآورده سازد [۲].

(الف) سازگاری: هر جزء بایستی آزمون جزء تکین را پاسخگو باشد.

(ب) پایداری: ماتریس سختی جزء باید دارای مرتبه کافی باشد.

(ج) عاملدار بودن: معادله‌های سختی جزء بایست عامل‌های آزاد را در بر بگیرند.

(د) نامتغیر بودن: معادله‌های سختی جزء نباید نسبت به انتخاب دستگاه سنجش و یا شماره گره حساس باشد.

در این راهکار شرط‌های (الف) و (ب) برای اطمینان از همگرایی جواب‌ها به پاسخ‌های دقیق به کار می‌رود. شرط سوم امکان بهینه‌سازی جزء مورد نظر را برای کار بردهای ویژه فراهم می‌کند. و آخرین شرط، پیش‌بینی رفتار سازه را در آزمون‌ها ممکن می‌سازد.

### ۳- رابطه‌سازی ماتریس سختی

شکل کلی ماتریس سختی که از روش قالب جزء محدود به دست می‌آید، همانند رابطه (۱) می‌باشد [۲ و ۳].

$$K_e = K_b(\alpha_i) + K_h(\beta_j) \quad (1)$$

در این رابطه  $K_b(\alpha_i)$  نشان دهنده ماتریس سختی پایه است. ماتریس یاد شده برای دست یافتن به همگرایی در تحلیل‌های عددی به کار می‌رود.  $K_h(\beta_j)$  سختی مرتبه بالای جزء را در بر می‌گیرد. از ماتریس مذکور، برای پایداری در تحلیل‌های عددی بهره می‌گیرند. به زبان ساده‌تر می‌توان گفت، ماتریس سختی مرتبه بالا نقش رسیدن به مرتبه کافی در ماتریس سختی را به عهده دارد. باید دانست، این ماتریس را گاهی برای افزایش دقیق در پاسخ‌ها نیز به کار می‌برند. در حالت کلی هر دو ماتریس  $K_b$  و  $K_h$  دارای عامل‌های آزاد هستند. خاطر نشان می‌کند، برای این عامل باید با راهکار مناسب، مقدارهای عددی مناسبی پیدا کرد. شمار این عامل‌های آزاد به طور معمول در ماتریس سختی پایه کمتر از شمار عامل‌های آزاد در ماتریس مرتبه بالا است. شایان توجه است که، شمار عامل‌های آزاد

در ضمن، زاویه‌ای که امتداد  $i$  به  $j$  با جهت مثبت محور  $X$  ها می‌سازد، با نماد  $\alpha$  نشان داده شده است. با این فرض، سینوس‌ها و کوسمینوس‌های وابسته به هر راستا و عمود بر آن به صورت زیر رابطه‌سازی می‌شود:

$$\begin{aligned} l_{ij} &= \sqrt{(x_j - x_i)^2 + (y_j - y_i)^2} \\ C_{ij} &= \frac{x_j - x_i}{l_{ij}} \quad \text{و} \quad S_{ij} = \frac{y_j - y_i}{l_{ij}} \\ C_n &= S_{ij} \quad \text{و} \quad S_n = -C_{ij} \quad (3) \end{aligned}$$

با توجه به شکل (۲)، لنگرهای ثابت در دستگاه سنجش  $n$  و  $t$  به صورت زیر به دست می‌آیند:

$$\begin{Bmatrix} \bar{M}_n \\ \bar{M}_t \end{Bmatrix} = \begin{Bmatrix} C_n^2 & S_n^2 & 2S_n C_n \\ -S_n C_n & S_n C_n & C_n^2 - S_n^2 \end{Bmatrix} \begin{Bmatrix} \bar{M}_x & \bar{M}_y & \bar{M}_{xy} \end{Bmatrix}^T \quad (4)$$

نیروهای گرهای ناشی از لنگر ثابت، از رابطه (۵)، حاصل می‌گردد:

$$t_c = L \bar{\sigma} \quad (5)$$

در این رابطه  $\bar{\sigma}$  میدان تنش ثابت،  $L$  ماتریس جایگزین کننده نیرویی و  $t_c$  نیروی جایگزین شده گرهای است. ماتریس  $L$  را با اصل کار مجازی بر روی هر پهلو ایجاد می‌کنند [۶]. با فرض میدان دورانی  $i$  و  $n$  بر روی هر پهلو می‌توان کار مجازی انجام شده را ببروی جزء با رابطه زیر نوشت:

$$w_s = \int [M_i \theta_n + (-M_n \theta_i)] ds \quad (6)$$

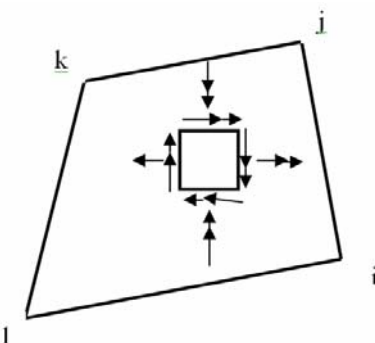
رابطه (۶) را به صورت ماتریسی زیر نیز می‌نویسند.

$$w_s = \int \begin{Bmatrix} \theta_n \\ \theta_i \end{Bmatrix}^T \begin{bmatrix} 0 & 1 \\ -1 & 0 \end{bmatrix} \begin{Bmatrix} \bar{M}_n \\ \bar{M}_i \end{Bmatrix} ds \quad (7)$$

مقادرهای  $\theta_i$  و  $\theta_n$  در رابطه (۷)، بر روی هر پهلو، با توجه به دورانهای ابتدا و انتهای هر پهلو و با درون‌یابی به دست می‌آید. از این رو می‌توان بر روی هر پهلو مختصات بدون بعد  $\frac{2S}{l_{ij}} - 1$  را تعریف نمود. در این رابطه  $S$  بیانگر فاصله از

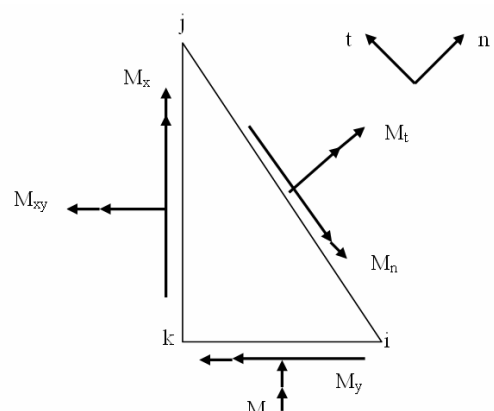
ابتدای هر پهلوی اختیاری  $ij$  در راستای  $ij$  می‌باشد. بنابراین، اگر

جزء تکین می‌گردد. بدین‌گونه، یکی از شرط‌های قالب جزء محدود برقرار خواهد شد. *Felippa, Militelo* [۵] دو میدان تغییر مکان مرزی مناسب را برای بردن لنگرهای هر پهلو به گره‌های جزء برای اجزاء مثلثی پیشنهاد کردند. در اینجا، نیز از همین راهکار بهره جویی گردیده و رابطه‌ها برای چهار پهلوی گسترش داده شده اند. برای به کار بردن این راهکار، بر روی هر پهلوی جزء، دستگاه سنجش محلی  $t$  و  $n$  تعریف می‌شود. بردار  $n$  عمود بر راستای پهلوی  $ij$  و بردار  $t$  در راستای هر پهلو از  $i$  به  $j$  در نظر گرفته شده است. برای روش‌تر شدن این مطلب جزء چهارپهلوی  $ijkl$  (شکل (۱)، را در نظر می‌گیرند. میدان‌های تنش نشان داده شده بر روی این شکل باید بر روی هر پهلو محاسبه شوند.



شکل ۱- چهار پهلوی اختیاری و لنگرهای به کار رفته در مختصات دکارتی

خاطر نشان می‌کنند، میدان تنش ثابت در حالت صفحه‌های خمی همان لنگر ثابت است. این میدان را با توجه به شکل (۲)، از دستگاه سنجش  $X$  و  $y$  به دستگاه سنجش  $X$  و  $t$  می‌برند. بدین‌گونه تنش‌ها بر روی هر پهلو به دست می‌آید.



شکل ۲- انتقال لنگرهای دکارتی به پهلوهای جزء

پهلو درون یابی می‌شود. در صورت به کار بردن این راهکار، بجای رابطه (۸) باید از رابطه زیر بهره گرفت:

$$\begin{bmatrix} \theta_n \\ \theta_i \end{bmatrix} = \frac{1}{2} \begin{bmatrix} 1 & \frac{3(\xi^2-1)}{l_{ij}} & 0 & \frac{1}{2}(3\xi+1)(\xi-1) & 3(1-\xi^2)/l_{ij} & 0 & \frac{1}{2}(3\xi-1)(\xi+1) \\ 0 & 1-\xi & 0 & 0 & 1+\xi & 0 \end{bmatrix} \begin{bmatrix} w_i \\ \theta_i \\ w_j \\ \theta_j \\ \theta_{nj} \end{bmatrix} \quad (13)$$

در پایان ماتریس جایگزین نیرویی که با درون یابی مرتبه ۲  $\theta_n$  به دست می‌آید، به صورت رابطه (۱۴) ارائه می‌گردد. خاطر نشان می‌کند، حالت کامل  $L_q$  در پیوست آمده است. زیر نویس  $q$  در رابطه (۱۴) برای نشان دادن درون یابی مرتبه ۲  $\theta_n$  به کار می‌رود. همانگونه که پیشتر ذکر شد، از ماتریس جایگزین نیرویی برای ایجاد ماتریس سختی پایه بهره می‌جویند.

$$L_q = \{L_1 \quad L_2 \quad L_3 \quad L_4\}^T \quad (14)$$

از آنجا که دو ماتریس متفاوت برای ماتریس جایگزین نیرویی  $L$  پیدا شده است، ترکیب خطی آنها را می‌توان به عنوان ماتریس جایگزین نیروی درنظر گرفت. در نتیجه رابطه (۱۵) برای ماتریس مذکور پیشنهاد می‌شود [۶].

$$L = (1-\alpha)L_L + \alpha L_q \quad (15)$$

در این رابطه  $\alpha$  یک مقدار بزرگتر و یا مساوی با صفر است. با توجه به این رابطه، ماتریس سختی پایه به راحتی بدست می‌آید.

### ۲-۳- ساختن ماتریس سختی مرتبه بالا

ماتریس سختی مرتبه بالا را برای افزایش دقیق و ایجاد مرتبه کافی در رابطه‌سازی وارد می‌کنند. برای ساختن این ماتریس بايستی حرکت‌های وابسته به جسم سخت و کرنش ثابت را کنار گذاشت. در حقیقت، این ماتریس مزبور برای بخش انحرافی کرنش‌ها رابطه‌سازی می‌شود. این ماتریس را با راهکارهای گوناگونی می‌توان به دست آورد. در این پژوهش، برای ساختن ماتریس مرتبه بالا از راهکار کرنش انحرافی فرضی استفاده شده است. در این راهکار ماتریس سختی براساس یک مجموعه از کرنش‌های فرضی از سطح جزء به دست می‌آید. برای این منظور باید با راهکار مناسبی کرنش‌ها را در سطح جزء به دست آورد. در

تغییرات  $\theta_t$  و  $\theta_n$  بر روی هر پهلو باتابع خطی دوران‌های مماسی و عمودی از ابتدا و انتهای هر پهلو درون یابی شود، رابطه (۸)، برای  $\theta_t$  و  $\theta_n$  حاصل می‌گردد:

$$\begin{bmatrix} \theta_n \\ \theta_t \end{bmatrix} = \frac{1}{2} \begin{bmatrix} 0 & 0 & 1-\xi & 0 & 0 & 1+\xi \\ 0 & 1-\xi & 0 & 0 & 1+\xi & 0 \end{bmatrix} \begin{bmatrix} w_i & \theta_i & w_j & \theta_j & \theta_{nj} \end{bmatrix}^T \quad (18)$$

دوران‌های  $\theta_t$  و  $\theta_n$  در رابطه (۸)، باید به درجه‌های آزادی دیداری جزء وابسته شود. از این رو، رابطه (۸)، به صورت زیر نوشته می‌شود:

$$\begin{bmatrix} \theta_n \\ \theta_t \end{bmatrix} = \frac{1}{2} \begin{bmatrix} C_{nij} & S_{nij} \\ -S_{nij} & C_{nij} \end{bmatrix} \begin{bmatrix} 0 & 1-\xi & 0 & 0 & 1+\xi & 0 \\ 0 & 0 & 1-\xi & 0 & 0 & 1+\xi \end{bmatrix} \begin{bmatrix} V_i \\ V_j \end{bmatrix} \quad (19)$$

$V_j$  درجه‌های آزادی دیداری جزء در گره‌های  $i$  و  $j$  است.

$$V = \{w \quad \theta_x \quad \theta_y\}^T \quad (10)$$

در صورتیکه رابطه (۹) در معادله (۷) جایگزین گردد و برابر با کار نیروهای گره‌ای قرار داده شود، ماتریس جایگزین نیروی حاصل می‌گردد:

$$L = \frac{1}{2} \begin{bmatrix} \begin{bmatrix} C_{nij} & S_{nij} \\ -S_{nij} & C_{nij} \end{bmatrix} \begin{bmatrix} 0 & 1-\xi & 0 & 0 & 1+\xi & 0 \end{bmatrix}^T \\ \begin{bmatrix} 0 & 1 & C_n^2 & S_n^2 & 2S_nC_n \\ -1 & 0 & -S_nC_n & S_nC_n & C_n^2 - S_n^2 \end{bmatrix} ds \end{bmatrix}. \quad (11)$$

در پایان ماتریس جایگزین نیروی به صورت زیر به دست می‌آید:

$$L_L^T = \frac{1}{2} \begin{bmatrix} 0 & 0 & y_{42} & 0 & 0 & y_{13} & 0 & 0 & y_{24} & 0 & 0 & y_{31} \\ 0 & x_{42} & 0 & 0 & x_{13} & 0 & 0 & x_{24} & 0 & 0 & x_{31} & 0 \\ 0 & y_{24} & x_{24} & 0 & y_{31} & x_{31} & 0 & y_{42} & x_{42} & 0 & y_{13} & x_{13} \end{bmatrix} \quad (12)$$

زیرنویس  $L$  بیان کننده درون یابی خطی دوران‌ها می‌باشد. با روش دیگری نیز می‌توان مقدارهای  $\theta_n$  را در هر پهلو درون یابی کرد. در صورتی که هر پهلو به عنوان یک تیر اولر برنولی در نظر گرفته شود،  $\theta_n$  را با مشتق‌گیری از درون یابی  $\theta_n$  خیز تیر اولر برنولی می‌توان به دست آورد. از این رو مقدار  $\theta_n$  به صورت تابعی مرتبه ۲ از درجه‌های آزادی ابتدا و انتهای هر

$$K_{ij}|_j = \frac{1}{l_{ij}^2} \left\{ 6 - 2l_{ij} - 6 - 4l_{ij} \right\} \left\{ V_{ij} \right\}_L = \left\{ q_{ij} \right\}_i \left\{ V_{ij} \right\}_L \quad (20)$$

در رابطه‌های (۲۰) و (۱۹)  $\left\{ V_{ij} \right\}_L$  درجه‌های آزادی وابسته به تیرهای فرضی هستند. درجه‌های آزادی یاد شده باید به درجه‌های آزادی دیداری جزء، وابستگی پیدا کنند. با به کار بردن ماتریس انتقال  $T$  این امکان فراهم می‌گردد تا درجه‌های آزادی تیرهای فرضی به درجه‌های آزادی جزء، وابسته گردند:

$$\begin{aligned} \left\{ V_{ij} \right\}_G^T &= \begin{pmatrix} w_i & \theta_{xi} & \theta_{yi} & w_j & \theta_{xj} & \theta_{yj} \end{pmatrix} \\ \left\{ V_{ij} \right\}_L^T &= \begin{pmatrix} w_i & \theta_{ni} & w_j & \theta_{nj} \end{pmatrix} \\ \left\{ V_{ij} \right\}_L &= [T] \left\{ V_{ij} \right\}_G \end{aligned}$$

$$T = \begin{bmatrix} 1 & 0 & 0 & 0 & 0 & 0 \\ 0 & C_n & S_n & 0 & 0 & 0 \\ 0 & 0 & 0 & 1 & 0 & 0 \\ 0 & 0 & 0 & 0 & C_n & S_n \end{bmatrix} \quad (21)$$

با بهره جستن از رابطه (۲۱) در معادله‌های (۲۰) و (۱۹) انحناء طبیعی در ابتدا و انتهای تیر فرضی بر حسب درجه‌های آزادی دیداری جزء نتیجه می‌گردد:

$$K_{ij}|_i = \frac{1}{l_{ij}^2} \left\{ -6 - 4l_{ij}C_n - 4l_{ij}S_n \right. \left. 6 - 2l_{ij}C_n - 2l_{ij}S_n \right\} \left\{ V_{ij} \right\}_G \quad (22)$$

$$K_{ij}|_j = \frac{1}{l_{ij}^2} \left\{ 6 - 2l_{ij}C_n - 2l_{ij}S_n \right. \left. - 6 - 4l_{ij}C_n - 4l_{ij}S_n \right\} \left\{ V_{ij} \right\}_G \quad (23)$$

با توجه به رابطه‌های (۲۳) و (۲۲) می‌توان انحنای طبیعی را در چهار گوشه جزء به دست آورد. انحناهایی که با این روش برای هر گره محاسبه می‌شوند، در راستاهای فرضی هستند. بنابراین، لازم است این انحنایها به انحنای دکارتی وابسته شوند. برای رسیدن به این هدف، هر گره به سه راستای فرضی برای انتقال انحنای را شده نیاز دارد. در این پژوهش، راستاهای دو پهلوی همسایه و امتدادی که گره مورد نظر را به گره رو برو وصل می‌کند، به عنوان راستاهای قراردادی درنظر گرفته می‌شود. با توجه به شکل (۳) می‌توان برای انحنای گرهات در راستاهای فرضی روابطه زیر را برقرار نمود:

این شیوه، برای جزهای دو بعدی، خطهای مرجعی بر سطح جزء معرفی می‌کنند. سپس بررسی این خطها کرنش‌های فرضی محاسبه شده و با راهکار مناسبی در سطح جزء درون‌بابی می‌گردد. با این شیوه ماتریس کرنش جزء حاصل می‌گردد [۵]. این ماتریس می‌تواند عامل‌های آزاد را در برگیرد. عامل‌های آزاد برای کاربردهای ویژه‌ای بهینه‌سازی می‌شوند.

اکنون برای دستیابی به کرنش‌های انحرافی باید به روش مناسب، کرنش‌ها را در سطح جزء به دست آورد. برای به دست آوردن این کرنش‌ها در سطح جزء، راستاهای مرتع تعريف می‌شوند. در اینجا، هر راستا به عنوان یک تیر اول بر نولی فرض می‌گردد. میدان جابجایی برای هر راستای مرتع، به این صورت خواهد بود:

$$w = N V_{ij}$$

$$N = \{N_1 \quad N_2 \quad N_3 \quad N_4\} \quad (16)$$

$V_{ij}$  تابع درون‌باب، (همان تابع‌های درون‌باب هرمیتی) و درجه‌های آزادی در ابتدا و انتهای هر تیر فرضی است. تابع‌های درون‌باب هرمیتی براساس دستگاه سنجش محلی  $|ij|$  بر روی هر راستا تعريف می‌شود، این تابع عبارتند از:

$$\begin{aligned} N_1 &= \frac{1}{4} (2 + \xi)(\xi - 1)^2 \\ N_2 &= \frac{1}{8} (1 + \xi)(\xi - 1)^2 l_{ij} \\ N_3 &= \frac{1}{4} (2 - \xi)(\xi + 1)^2 \\ N_4 &= \frac{1}{8} (1 - \xi)(\xi + 1)^2 l_{ij} \end{aligned} \quad (17)$$

با بهره جستن از رابطه (۱۶) می‌توان انحناء فرضی را در هر یک از تیرهای فرضی به دست آورد.

$$K = \frac{\partial^2 w}{\partial s^2} = \frac{1}{l_{ij}^2} \left\{ 6\xi l_{ij}(-1+3\xi) - \xi l_{ij}(1+3\xi) \right\} \left\{ w_i \quad \theta_i \quad w_j \quad \theta_j \right\}^T$$

$$(18)$$

با قرار دادن مقدارهای ۱ و -۱- بجای  $\xi$  انحناء فرضی در ابتدا و انتهای هر تیر حاصل می‌گردد.

$$K_{ij}|_i = \frac{1}{l_{ij}^2} \left\{ -6 - 4l_{ij} \right. \left. 6 - 2l_{ij} \right\} \left\{ V_{ij} \right\}_L = \left\{ q_{ij} \right\}_i \left\{ V_{ij} \right\}_L$$

$$(19)$$

با بهره‌گیری از رابطه‌های (۲۵) و (۲۶)، ماتریس کرنش در هر گره ایجاد می‌شود.

$$\begin{aligned} B_1 &= T_1 Q_1 & B_2 &= T_2 Q_2 & B_3 &= T_3 Q_3 \\ B_4 &= T_4 Q_4 \end{aligned} \quad (۲۷)$$

روابط (۲۷) بیانگر کرنش در چهار گوشه جزء هستند. اکنون بایست با راهکار مناسبی ماتریس کرنش را در سطح جزء درون‌یابی کرد. این کار با درون‌یابی هم عامل (ایزو پارامتریک) انجام می‌گردد. در نتیجه ماتریس کرنش در سطح جزء به این صورت رابطه‌سازی می‌شود:

$$\begin{aligned} f_1 &= \frac{1}{4}(1-\xi)(1-\eta) & f_2 &= \frac{1}{4}(1+\xi)(1-\eta) \\ f_3 &= \frac{1}{4}(1+\xi)(1+\eta) & f_4 &= \frac{1}{4}(1-\xi)(1+\eta) \\ B(\xi, \eta) &= f_1 B_1 + f_2 B_2 + f_3 B_3 + f_4 B_4 \end{aligned} \quad (۲۸)$$

برای رابطه‌سازی ماتریس سختی مرتبه بالا، باید بخش انحرافی کرنش‌ها را بدست آورد. بخش انحرافی کرنش، با کاستن کرنش میانگین از کل کرنش نتیجه می‌شود. این کار برابر با کم کردن ماتریس کرنش میانگین از ماتریس کرنش جزء است. با این شیوه، رابطه زیر برای ماتریس کرنش انحرافی بدست می‌آید:

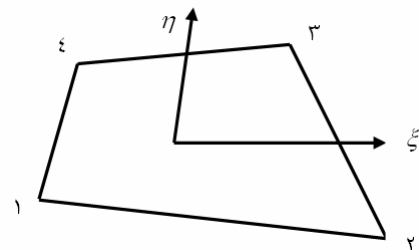
$$B_d = B(\xi, \eta) - \frac{1}{A} \int B(\xi, \eta) dA \quad (۲۹)$$

در پایان، ماتریس سختی مرتبه بالا با استفاده از رابطه (۳۰) قابل محاسبه می‌باشد:

$$K_h = \int B_d^T D B_d dA \quad (۳۰)$$

### ۱-۲-۳- جایگاه عامل‌های آزاد

همانطوری که اشاره شد، ماتریس سختی مرتبه بالا باید دارای عامل‌های آزاد باشد، رابطه‌سازی که در بخش پیشین برای ماتریس سختی پایه ارائه شد، دارای عامل آزاد نیست. راهکارهای گوناگونی برای جای دادن عامل و یا عامل‌های آزاد در اینگونه رابطه‌سازی پیشنهاد شده است. پرکاربردترین این راهکارها، این است که هر یک از مولفه‌های ماتریس کرنش فرضی در رابطه‌های (۲۰) و (۱۹) را در عاملی آزاد ضرب کرد. چنانچه با این راهکار



شکل ۳- راستاهای قراردادی عضو چهارپهلوی

$$\begin{aligned} K_1 &= \begin{Bmatrix} k_{12}|_1 \\ k_{13}|_1 \\ k_{41}|_1 \end{Bmatrix} = Q_1 V & K_2 &= \begin{Bmatrix} k_{12}|_2 \\ k_{24}|_2 \\ k_{23}|_2 \end{Bmatrix} = Q_2 V \\ K_4 &= \begin{Bmatrix} k_{41}|_4 \\ k_{24}|_4 \\ k_{34}|_4 \end{Bmatrix} = Q_4 V & K_3 &= \begin{Bmatrix} k_{23}|_3 \\ k_{13}|_3 \\ k_{34}|_3 \end{Bmatrix} = Q_3 V \\ V_i &= \{w_i \quad \theta_{x_i} \quad \theta_{y_i}\} \\ V^T &= \{V_1 \quad V_2 \quad V_3 \quad V_4\} \\ i &= 1, 2, 3, 4 \end{aligned} \quad (۲۴)$$

ماتریس‌های  $Q$  در معادله‌های (۲۴) در پیوست ارائه شده است. بدست آچه پیشتر بحث شد، انحنای‌هایی که در گره‌های ۱ تا ۴ بدست آمدند، در راستاهای فرضی می‌باشد. این انحنایها، باید با انحنای‌های دکارتی نشان داده شوند. بنابراین، می‌توان از ماتریس‌های انتقال  $T_4$  تا  $T_1$  که در ادامه می‌آیند، بهره جست.

$$K^T = \begin{Bmatrix} \frac{\partial^2 w}{\partial x^2} & \frac{\partial^2 w}{\partial y^2} & 2 \frac{\partial^2 w}{\partial x \partial y} \end{Bmatrix} \quad K_i = T_i \kappa_i \quad (۲۵)$$

$$T_1 = \begin{bmatrix} S_{12}^2 & C_{12}^2 & -S_{12}C_{12} \\ S_{13}^2 & C_{13}^2 & -S_{13}C_{13} \\ S_{41}^2 & C_{41}^2 & -S_{41}C_{41} \end{bmatrix}^{-1} \quad T_2 = \begin{bmatrix} S_{12}^2 & C_{12}^2 & -S_{12}C_{12} \\ S_{24}^2 & C_{24}^2 & -S_{24}C_{24} \\ S_{23}^2 & C_{23}^2 & -S_{23}C_{23} \end{bmatrix}^{-1}$$

$$T_4 = \begin{bmatrix} S_{41}^2 & C_{41}^2 & -S_{41}C_{41} \\ S_{24}^2 & C_{24}^2 & -S_{24}C_{24} \\ S_{34}^2 & C_{34}^2 & -S_{34}C_{34} \end{bmatrix}^{-1} \quad T_3 = \begin{bmatrix} S_{23}^2 & C_{23}^2 & -S_{23}C_{23} \\ S_{13}^2 & C_{13}^2 & -S_{13}C_{13} \\ S_{34}^2 & C_{34}^2 & -S_{34}C_{34} \end{bmatrix}^{-1} \quad (۲۶)$$

جزء به دست آورد [۸]. کارمایه کرنشی جزء را برای یک حالت حرکتی به این صورت می‌توان نوشت:

$$U_b = \frac{1}{2} u^T K_b u = U_1 + \alpha U_2 + \alpha^2 U_3 \quad (31)$$

اگر رابطه (۳۱) نسبت به  $\alpha$  کمینه گردد، مقدار بھینه  $\alpha$  به دست می‌آید. برای هر یک از حالت‌های حرکتی وابسته به کرنش ثابت، مقدار  $\alpha$  جداگانه حساب شده است. مقدار بھینه  $\alpha$  برای هر یک از حالت‌های حرکتی تفاوت دارد. این مقدار بین صفر تا دو تغییر می‌کند. آزمون‌های عددی بسیاری برای یافتن مقدار بھینه آن انجام گردیده است. نتیجه‌ها نشان می‌دهند؛ چنانچه مقدار صفر، برای اختیار شود، سهم سختی پایه از حالتی که مقدار  $\alpha$  بزرگتر از صفر باشد، کمتر است. به سخن دیگر،  $\alpha$  برابر با صفر، ماتریس سختی نرمتری را نتیجه می‌دهد. همچنین آزمون‌های عددی مشخص می‌سازند،  $\alpha$  بین  $0/8$  تا  $0/08$  به ویژه برای شبکه‌های منظم کارایی بهتری دارد. باید آگاه بود، مقدار  $\alpha$  به دست آمده در این قسمت برای حالت‌های حرکتی مرتبه پایه مشخصی می‌باشد. این مقدار دارای کاستی‌هایی می‌باشد. این کاستی‌ها در شبکه‌های درشت بیشتر آشکار می‌گردد. از این‌رو، آزمون عددی بسیاری انجام گرفت، تا مقدار مناسبی برای مشخص گردد. در این آزمون با فرض ثابت بودن مقدارهای عامل‌های آزاد مرتبه بالا تغییر مقدار  $\alpha$  در پاسخ‌های سازه‌ای متفاوت وارسی گردید. نتیجه‌ها مشخص ساخت، مقدار  $\alpha$  برای  $2/5$  پاسخ‌هایی را فراهم می‌آورد که حساسیت بسیار کمی در درشتی و ریزی شبکه دارد.

#### ۴-۲-۴- شرط نا متغیر بودن

این شرط یکی از مهم‌ترین قیدهایی است که بر روی عامل‌های آزاد به کار می‌رود. قید مزبور بیان می‌کند که ماتریس سختی جزء باید نسبت به دستگاه سنجش، نامتغیر باشد. به سخن دیگر، هنگامی که جزء، هندسه متقارن برای خود اختیار می‌کند، این تقارن باید در مولفه‌های ماتریس سختی اثر بگذارد. برای نمونه، در حالتی که جزء مربع شکل است. بین برخی از مولفه‌ها رابطه‌های ویژه‌ای برقرار می‌شود. با بهره جستن از برنامه رایانه‌ای Mathematica این رابطه‌ها بین عامل‌های آزاد نتیجه شده‌اند:

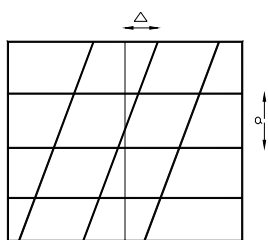
جزء چهار پهلوی خمثی مورد بررسی، رابطه‌سازی گردد، ۴۸ عامل آزاد برای ایجاد ماتریس سختی مرتبه بالا مورد نیاز است. روش دیگری نیز برای وارد کردن عامل‌های آزاد امکان‌پذیر می‌باشد. اگر عامل‌های آزاد در رابطه‌های (۲۲) و (۲۳) وارد شوند، قالبی با ۷۲ عامل آزاد ساخته خواهد شد. ساده‌ترین روش وارد کردن عامل آزاد در ماتریس سختی به اینگونه است که تنها یک عامل آزاد در ماتریس سختی مرتبه بالا جای گیرد. این کار، همانند این است که همه عامل‌های آزاد برابر با یکدیگر فرض گرددند. اگر شمار عامل‌های آزاد بسندن باشند، ونیز جایگاه مناسبی برای آنها درنظر گرفته شود، قالبی فرآیندی ایجاد خواهد شد. قالب مذکور همه اجزای محدود برای یک ساختار ویژه را دربر می‌گیرد. در این صورت، قالب یاد شده، جزء‌هایی که با روش‌های سنتی ایجاد شده‌اند را نیز دربر می‌گیرد. برای رسیدن از این قالب به جزء‌های پیشین، بایست مقدارهای عددی مشخصی به جای عامل‌های معینی قرار گیرد. افزون بر اینکه راهکار قالب، جزء‌های پیشین را در بر می‌گیرد، بی‌شمار جزء نوین دیگر نیز پدید می‌آورد. برای نمونه قالب ۴۸ عاملی دارای  $48^{\infty}$  ماتریس سختی مرتبه بالا است. از این میان، کدام ماتریس رفتار بهتری از خود نشان می‌دهد؟ با چه راهکاری می‌توان مقدارهای مناسب برای عامل‌های آزاد را بدست آورد؟ به طور کلی، روش مشخصی برای یافتن مقدارهای مناسب موجود نمی‌باشد. با این حال، روش‌هایی توسط پژوهشگران پیشنهاد شده است که می‌توان از آنها بهره جست [۲] و یا اینکه از آزمون‌های عددی مناسبی برای بدست آوردن این عامل‌ها استفاده کرد. در ادامه از این شیوه‌ها سخن به میان می‌آید. باید آگاه بود، در حالت کلی نمی‌توان جزء‌های خمثی را با یک عامل آزاد بھینه کرد. در صورتی که برای جزء‌های غشایی این امکان وجود دارد و می‌توان با یک عامل آزاد جزء را در همه شرایط تا حدی بھینه نمود [۷]. از این رو بررسی حالت‌های کلی جزء‌های خمثی کار بسیار دشواری می‌باشد. در ادامه تلاش شده تا رابطه‌ای بین عامل‌های آزاد، برای قالب مورد نظر ارائه گردد. برای این هدف، نخست شرط نا متغیر بودن بر روی ماتریس سختی وارد می‌گردد. خاطر نشان می‌کند، شکل کلی قالب پیشنهادی در پیوست آورده شده است.

#### ۴- مقدار مناسب عامل‌های آزاد

##### ۴-۱- مقدار بھینه $\alpha$

عامل آزاد در ماتریس سختی پایه، نقش مهمی در همگرایی پاسخ‌ها دارد. مقدار مناسب  $\alpha$  را می‌توان با کمینه کردن کارمایه

صفحه مربع شکل، زیر اثر بار مرکز در مرکز، با تکیه گاههای کناری ساده، مورد وارسی قرار گرفته است. در این تحلیل، از یک شبکه  $4 \times 4$  برای یک چهارم صفحه بهره‌جویی شده است. در این آزمون، همانطور که در شکل (۴) آمده، پاسخ سازه نسبت به تغییر  $\Delta$  مورد وارسی قرار گرفته است. مقدارهایی از عامل‌های آزاد، که حساسیت کمتری نسبت به تغییر  $\Delta$  دارد به عنوان عامل‌های آزاد مناسب برای ماتریس سختی مورد نظر اختیار گردیده‌اند.



شکل ۴- یک چهارم صفحه مربعی

در این وارسی، تغییر  $\Delta$  از مرکز به سمت راست مثبت فرض شده است. آزمون دیگری نیز برای وارسی و یافتن مقدارهای مناسب عامل‌های آزاد به کار رفته است. در این آزمون تلاش بر این بوده که مقدارهایی برای عامل‌های آزاد در نظر گرفته شود تا نسبت به جهت شبکه حساس نباشد. از این رو صفحه مربعی بررسی یک چهارم صفحه مربعی شکل با چهار جزء الگوسازی شده است. در این تحلیل، پاسخ‌های مساله برحسب تغییر مقدار  $a$  که در شکل (۵) آمده، مورد بررسی قرار گرفت. مقدارهایی برای عامل‌های آزاد انتخاب گردید که نسبت به تغییر  $a$  حساسیت کمتری داشته و به جهت شبکه‌بندی نیز حساس نباشد. در پایان چنین نتیجه شد که، مقدار عامل‌های آزاد مرتبه بالا برابر با  $0/9$  و  $0/93$  اختیار گردد. مقدار  $0/9$  برای عامل‌هایی که تابع مرتبه یک از درازای تیرهای فرضی است و مقدار  $0/93$  برای عامل‌هایی که تابع درجه دو از درازای تیرهای یاد شده است، اختیار گردیده‌اند. با توجه به این مقدارها، پاسخ مساله نخست در جدول (۱) برحسب درصد خطاء نسبت به تغییر  $\Delta$  درج گردیده‌اند. همانطور که از این جدول دیده می‌شود، تغییر  $\Delta$  اثر زیادی در پاسخ‌ها ندارد. از این رو می‌توان نتیجه گرفت، که ماتریس سختی ارائه شده نسبت به کجی شبکه حساسیت کمی دارد.

$$\begin{aligned} \beta_{21} &= \beta_{25} = \beta_{31} = \beta_{35} = \beta_{41} = \beta_{43} = \beta_{45} = \beta_{47} \\ \beta_{11} &= \beta_{15} = \beta_{17} = \beta_{23} = \beta_{27} = \beta_{13} = \beta_{33} = \beta_{37} \\ \beta_{12} &= \beta_{18} = \beta_{22} = \beta_{28} = \beta_{32} = \beta_{38} = \beta_{42} = \beta_{48} \\ \beta_4 &= \beta_6 = \beta_{24} = \beta_{26} = \beta_{34} = \beta_6 = \beta_{44} = \beta_{46} \\ \beta_2 &= \beta_8 = \beta_2 = \beta_{68} \quad , \quad \beta_{51} = \beta_{53} = \beta_{61} = \beta_{63} , \\ \beta_{55} &= \beta_{57} = \beta_{65} = \beta_{67} \quad \text{و} \quad \beta_{54} = \beta_{56} = \beta_{64} = \beta_{66} \end{aligned} \quad (۳۲)$$

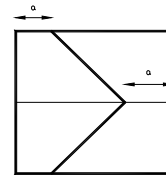
با توجه به رابطه‌های (۳۲) شمار عامل‌های آزاد مستقل برای جزء چهار پهلوی به ۸ کاهش می‌یابد.

### ۳-۴- حساس نبودن به نسبت شکل

قید حساس نبودن به نسبت شکل (ARI) شرط مفیدی برای کارآیی جزء با هندسه‌های نامتقارن است. برای این کار لازم است نسبت شکل مناسبی برای جزء در نظر گرفت. این کار برای جزء چهار پهلوی دشوارتر از جزه‌ای سه پهلو است. در صورتی که به توان یک نسبت شکل مناسب برای جزء چهار پهلوی در نظر گرفت، باید اثر تغییر این نسبت شکل را در ماتریس سختی جزء وارسی نمود. برای این هدف، باید عامل‌هایی که سبب افزایش و یا کاهش بیش از اندازه درایه‌های ماتریس سختی می‌شوند را با راهکار مناسبی حذف کرد. این کار نیز بسیار مشکل است. از این رو آزمون‌های عددی بسیاری برای رسیدن به حل بهینه انجام شده‌اند. پاسخ‌های سازه‌های مختلف برای عامل‌های آزاد متفاوت وارسی گردید. در پایان، این نتیجه به دست آمد که، باید در ماتریس کرنش مرتبه بالا، دو عامل آزاد جای گیرد. یک عامل برای درایه‌هایی از ماتریس  $Q$  که تابع مرتبه یک از درازای تیرهای فرضی است و عامل دیگر برای درایه‌هایی از ماتریس  $Q$  که تابع مرتبه ۲ از درازای تیرهای فرضی هستند، درنظر گرفته شد. خاطر نشان می‌کند، آزمونی که برای این کار مورد بهره‌جویی قرار گرفت، بدین گونه می‌باشد. نخست با ثابت فرض کردن عامل آزاد مرتبه پایه و یکی از عامل‌های ماتریس مرتبه بالا، تغییرات این عامل مورد وارسی قرار گرفت. سپس با ثابت نگه داشتن دو عامل قبلی، تغییرات عامل سوم (عامل دوم مرتبه بالا) بررسی گردید. در اینجا، خاطر نشان می‌کند، برای دست یافتن به عامل‌های آزاد مناسب، آزمون‌های ویژه‌ای به کار گرفته شده است. یکی از کاراترین آنها، به کاربردن آزمونی می‌باشد که بیانگر حساسیت جزء به کجی است. در این آزمون تلاش شده است تا عامل‌های آزادی یافت شود که حساسیت جزء به کجی را کاهش دهد. برای این منظور، پاسخ

در شکل (۶) درصد خطاء پاسخ مساله دوم نسبت به تغییر  $\frac{2a}{L/2}$

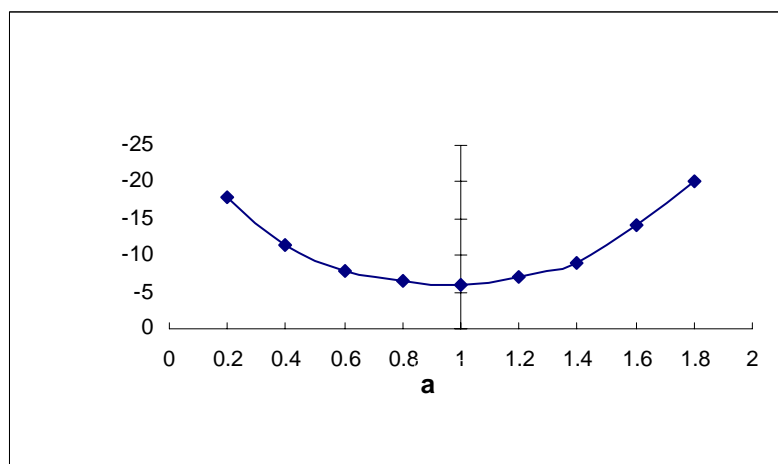
نشان داده شده است.  $L$  بیانگر درازای کل جزء می‌باشد. همانطور که از شکل (۶) دیده می‌شود. آشکار است که، ماتریس ارائه شده نسبت به جهت شبکه حساسیت بسیار کمی دارد. در ادامه چند نمونه از آزمون‌های نشانه برای بررسی کارایی جزء ارائه می‌شود.



شکل ۵- الگوی یک چهارم صفحه مربعی با تکیه‌گاه گیردار

جدول ۱- درصد خطأ در پاسخ مساله بر حسب تغییر  $\Delta$

$\Delta / L$	-۰/۸	-۰/۶	-۰/۴	-۰/۲	۰	۰/۲	۰/۴	۰/۶	۰/۸
خطأ	۰/۲	۰/۳	۰/۲	۰	۰/۱۴	-۱	۰	-۰/۴	-۰/۱

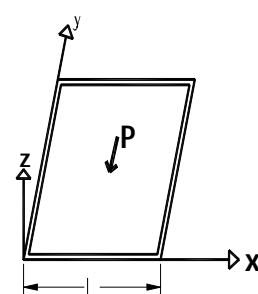


شکل ۶- نمودار درصد خطاء نسبت به تغییرات  $\frac{2a}{L/2}$

##### ۵- آزمون‌های عددی

به سبب تقارن، تنها یک چهارم صفحه شبکه‌بندی شده و در تحلیل شرکت می‌کند. در جدول (۲) نتیجه‌های به دست آمده از تحلیل این صفحه با دیگر جزء‌ها مقایسه شده است. همانطور که از این جدول دیده می‌شود، جزء پیشنهادی از دقت خوبی نسبت به دیگر جزء‌ها برخوردار است.

۱-۵- صفحه مربعی با تکیه گاه‌های ساده در اینجا صفحه مربعی شکل با تکیه گاه‌های ساده زیر باز متتمرکز که بر مرکز صفحه وارد می‌شود، تحلیل می‌گردد. درازای هر پهلوی صفحه برابر با  $L$  است. شکل (۷)، این صفحه را نشان می‌دهد.

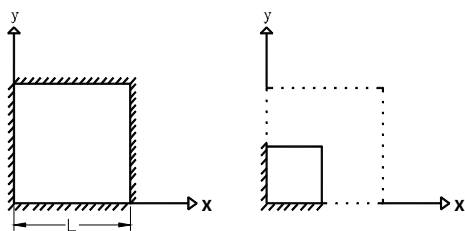


شکل ۷- صفحه مربعی با تکیه گاه ساده زیر باز متتمرکز

جدول ۲- تغییر مکان مرکز صفحه مربعی زیر اثر بار متumerکزدر مرکز

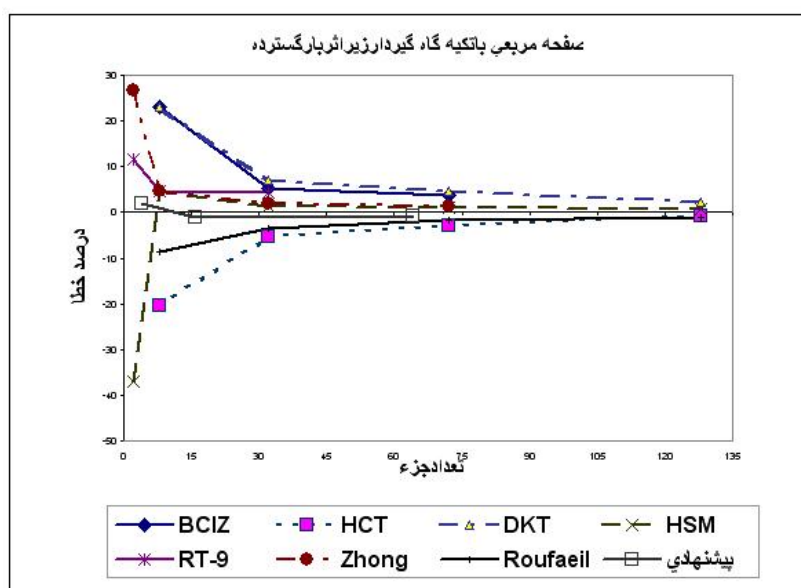
شکل جزء	نمایه جزء	$\frac{qL^4}{D}$			
		۱×۱	۲×۲	۴×۴	مرجع
۹	BCIZ	۰/۰۱۳۰۲	۰/۰۱۱۷۴	۰/۰۱۱۶۴	۹
	CMT		۰/۰۱۳۴۶	۰/۰۱۱۹۳	۱۰
	DKT	۰/۰۱۲۴۸	۰/۰۱۱۶۹	۰/۰۱۱۶۳	۱۰
	RT-9	۰/۰۱۲۱۷	۰/۰۱۱۴۸	۰/۰۱۱۵۹	۱۱
	Zhong	۰/۰۱۴۰۸	۰/۰۱۳۰۲	۰/۰۱۱۸۴	۱۲
۱۳	NCQ		۰/۰۱۱۳۸	۰/۰۱۱۵۴	۱۳
	AFSIQ	۰/۰۱۰۴۴	۰/۰۱۱۱۲	۰/۰۱۱۳۹	۱۴
	پیشنهادی	۰/۰۱۱۹۱	۰/۰۱۱۹۴	۰/۰۱۱۶۱	
دقیق		۰/۰۱۱۶			

## ۲-۵- صفحه مربعی با تکیه گاه گیردار

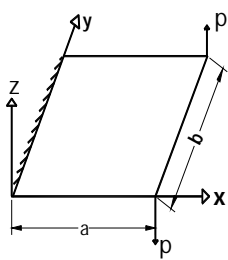


شکل ۸- صفحه مربعی با تکیه گاه گیردار زیر بارگستردہ

در اینجا، صفحه مربعی شکل با تکیه گاه های گیردار، زیر بار گستردہ یکنواخت تحلیل می گردد. شدت بار وارده برابر با  $q$  است. درازای هر پهلوی مربع  $L$  می باشد. در این مثال نیز به سبب تقارن تنها یک چهارم صفحه تحلیل می شود. شکل (۸) نشان دهنده این مثال می باشد. نمودار همگرایی برای این صفحه در شکل (۹) آمده است [۱۵ و ۱۶].



شکل ۹- نمودار همگرایی صفحه مربعی با تکیه گاه گیردار

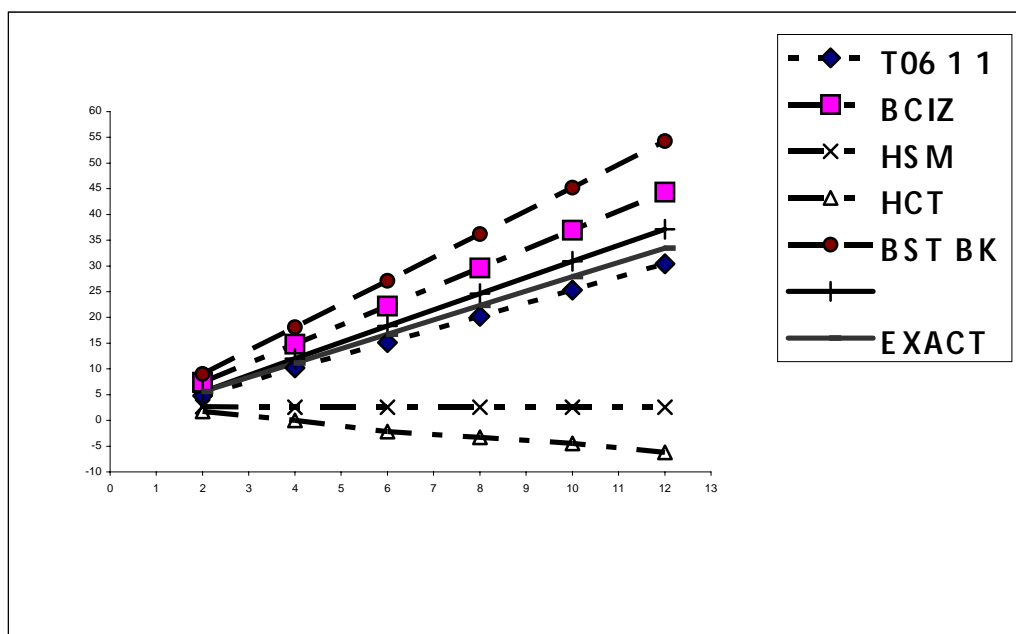


شکل ۱۰- صفحه طره زیر بار پیچشی

**۳-۵- صفحه طره پیچشی**

یکی از آزمون‌های سخت که برای نشان دادن کارایی جزء در نسبت شکل‌های مختلف بکار می‌رود، آزمون صفحه پیچشی است. برای این منظور، دو نیروی برابر، در خلاف جهت هم، بر دو گوشه آزاد یک صفحه طره وارد می‌شوند. این دو نیرو همانند یک بار پیچشی بر لبه آزاد طره اثر می‌کند. شکل (۱۰) این مسئله را نشان می‌دهد.

یادآوری می‌کند، در بررسی رفتار سازه زیر اثر این دو نیرو و تنها از یک جزء چهار پهلو بهره جویی شده است. در شکل (۱۱) تغییر مکان گوشه آزاد جزه‌های مختلف به صورت ترسیمی با یکدیگر مقایسه شده‌اند. از این شکل آشکارا دیده می‌شود که جزء پیشنهادی، این آزمون را به خوبی پاسخگو است.



شکل ۱۱- نمودار تغییر مکان در گوشه صفحه رهیزبراثر بار پیچشی

۲- برای دست یافتن به همگرایی درماتریس سختی پایه، عامل آزادی معرفی گردید. این کار برای دسترسی به پاسخ‌های دقیق نسبت به دیگر شیوه‌های سنتی راحت‌تر می‌باشد.

۳- عامل‌های آزاد مرتبه‌ی بالا سبب افزایش دقت و پایداری در تحلیل‌های عددی می‌گردند. انجام این کار، شرایطی را فراهم می‌آورد که سازه در شرایط خاص نرم و یا سخت نشود.

۴- آزمون‌های عددی نشان دادند که جزء پیشنهادی نسبت به کجی و نسبت هندسی حساسیت کمتری دارد.

**۶- نتیجه‌گیری**

بر پایه‌ی شیوه‌ی قالب جزء محدود، ماتریس سختی یک جزء صفحه‌ی خمی رابطه‌سازی شد. توانایی‌های جزء پیشنهادی با آزمون‌های عددی به دست آمدند. در ادامه، نتایج این پژوهش بطور خلاصه عبارتند از:

۱- بهره‌جویی از روش پیشنهادی سبب می‌شود تا خانواده‌ای از جزء‌ها در یک قالب جای گیرند. همه‌ی این جزء‌ها دارای عامل‌های آزادی می‌باشند. جای دادن مقدارهای عددی به جای عامل‌های آزاد، سبب به وجود آمدن جزء‌های ویژه‌ای می‌گردد.

- [8] Methods in Applied Mechanics and Engineering, 1987, 61, 129-160.
- [9] Bergan, P.G., Fellipa, C.A., "A triangular Membrane Element With Rotational Degrees of freedom", Computer Methods in Applied Mechanics and Engineering, 1985, 50, 25-69.
- [10] Zienkiewicz O.C., and Taylor R.L., "The Finite Element Method", 4 th Edition, Volume 2, McGraw-Hill, New York, 1991.
- [11] اختری، م.ر، "اثر محل گره و نوع درجه آزادی در جزء مثلثی صفحه خمشی"، پایان‌نامه کارشناسی ارشد ناپیوسته، دانشگاه فردوسی مشهد، ایران، ۱۳۷۵.
- [12] Cheung, Y.K. and wanji., "Refind nine parameter triangular thin plate bending element by using refind direct stiffness method", International Journal for Numerical methods in Engineering, 1995 38, 283-298.
- [13] Zhangnian, X., "A Thick-Thin Triangular Plate Element", International Journal for Numerical Methods in Engineering, 1992, 33, 963-973.
- [14] Liu, I. W., "A conforming Quadrilateral Plate Bending Element Revisited", International Journal For Numerical Methods in Engineering, 1995, 38, 2449-2463.
- [15] Zhenfeng, Z., Wanji, C., "New Finite Element Model For Analysis Of Kirchhoff Plate", International Journal For Numerical Methods in Engineering, 1995, 38, 1201-1214.
- [16] Roufaeil, O., "A New Four-Node Quadrilateral Plate Bending Element", Computers & Structures, 1995, 54, (5), 871-879.
- [17] Weaver, W., Johnston P.R., "Finite Element for Structural Analysis", Prentice Hall, Engelwood Cliffs, New Jersy, 1984.

-۵- تحلیل‌ها نشان دادند که افزایش شمار نقطه‌های گوسی از  $2 \times 2$  به  $3 \times 3$  و  $4 \times 4$  اثری زیادی در پاسخ‌ها ندارد. به سخن دیگر، تغییر شمار نقطه‌های گوسی سبب نرم و یا سخت شدن ماتریس سختی نمی‌گردد. به کار بردن نقطه‌های گوسی  $2 \times 2$  دقت مناسبی دارند. این نتیجه یکی از ویژگی‌های مناسب راهکار پیشنهادی است.

## ۷- مراجع

- [1] اخویسی، ا.ه، احمدی م.ت، "یک جزء جدید خمشی چهارگرهی در محدوده پوسته‌های نازک با استفاده از نگره راینر میندلین"، مجله فنی مهندسی مدرس، شماره ۲۷، بهار ۱۳۸۶، صفحه ۴۳-۵۴.
- [2] Felippa, C.A., "Recent Advances in Finite Element Templates", Chapter 4 in Computational Mechanic for the twenty-first century, ed. By B.H.V. Topping, Saxe-Coburn Publication, Edinburgh, 2000, 71-98.
- [3] Felippa, C.A., "A Survey of parameterized Variational Principles and Applications to Computational Mechanics", Invited Chapter in Sinence and Perspectives in Mechanics, ed. by B. Nayroles, J. Etay and D. Renouard, END Grenoble, France, 1994, 1- 42.
- [4] Felippa, C.A., "Parametrized Multifield Variational Principles in Elasticity: II. Hybrid Functionals and the Free Formulation", Communications in Applied Numerical Methods, 1989, 5, 79-88.
- [5] Militello, C., Felippa, C.A., The first ANDES element: 9-dof bending triangles, Comuter Methods in Applied Mechanics and Engineering, 1991, 95, 217-246.
- [6] Felippa, C.A., Haugen, B., and Militello, C., "From the Individual Element Test to Finite Element Templates: Evaluation of Patch Test", Internationl Journal for Numerical Methods in Engineering, 1995, 38, 199 –229.
- [7] Felippa, C.A., Bregan, P.G, "A Triangular Bending Element Based on an Energy-Orthogonal Free Formulation", Computer

پیوست:

شکل کلی ماتریس‌های  $L_i$  و  $Q_i$ 

$$L_q = \begin{pmatrix} s_{12} c_{12} - s_{41} c_{41} & -s_{12} c_{12} + s_{41} c_{41} & s_{12}^2 - c_{12}^2 + c_{41}^2 - s_{41}^2 \\ -\frac{1}{2}(c_{12}^2 x_{12} + c_{41}^2 x_{41}) & -\frac{1}{2}(s_{12}^2 x_{12} + s_{41}^2 x_{41}) & s_{12}^2 y_{12} + s_{41}^2 y_{41} \\ -\frac{1}{2}(c_{12}^2 y_{12} + c_{41}^2 y_{41}) & -\frac{1}{2}(s_{12}^2 y_{12} + s_{41}^2 y_{41}) & c_{12}^2 x_{12} + c_{41}^2 x_{41} \\ -c_{12} s_{12} + s_{23} c_{23} & s_{12} c_{12} - s_{23} c_{23} & c_{12}^2 - s_{12}^2 + s_{23}^2 - c_{23}^2 \\ -\frac{1}{2}(c_{12}^2 x_{12} + c_{23}^2 x_{23}) & -\frac{1}{2}(s_{12}^2 x_{12} + s_{23}^2 x_{23}) & s_{12}^2 y_{12} + s_{23}^2 y_{23} \\ -\frac{1}{2}(c_{12}^2 y_{12} + c_{23}^2 y_{23}) & -\frac{1}{2}(s_{12}^2 y_{12} + s_{23}^2 y_{23}) & c_{12}^2 x_{12} + c_{23}^2 x_{23} \\ -s_{23} c_{23} + c_{34} s_{34} & s_{23} c_{23} - s_{34} c_{34} & s_{34}^2 - c_{34}^2 + c_{23}^2 - s_{23}^2 \\ -\frac{1}{2}(c_{23}^2 x_{23} + c_{34}^2 x_{34}) & -\frac{1}{2}(s_{23}^2 x_{23} + s_{34}^2 x_{34}) & s_{23}^2 y_{23} + s_{34}^2 y_{34} \\ -\frac{1}{2}(c_{23}^2 y_{23} + c_{34}^2 y_{34}) & -\frac{1}{2}(s_{23}^2 y_{23} + s_{34}^2 y_{34}) & c_{23}^2 x_{23} + c_{34}^2 x_{34} \\ c_{41} s_{41} - c_{34} s_{34} & -s_{41} c_{41} + c_{34} s_{34} & s_{41}^2 - c_{41}^2 + c_{34}^2 - s_{34}^2 \\ -\frac{1}{2}(c_{41}^2 x_{41} + c_{34}^2 x_{34}) & -\frac{1}{2}(s_{41}^2 x_{41} + s_{34}^2 x_{34}) & s_{41}^2 y_{41} + s_{34}^2 y_{34} \\ -\frac{1}{2}(c_{41}^2 y_{41} + c_{34}^2 y_{34}) & -\frac{1}{2}(s_{41}^2 y_{41} + s_{34}^2 y_{34}) & c_{41}^2 x_{41} + c_{34}^2 x_{34} \end{pmatrix}$$

$$Q_1 = \left\{ \begin{array}{l} \frac{1}{l_{12}^2} \{-6 - 4l_{12} c_{12} - 4l_{12} s_{12}, 6 - 2l_{12} c_{12} - 2l_{12} s_{12}, 0, 0, 0, 0, 0, 0\} \\ \frac{1}{l_{13}^2} \{-6 - 4l_{13} c_{13} - 4l_{13} s_{13}, 0, 0, 0, 6 - 2l_{13} c_{13} - 2l_{13} s_{13}, 0, 0, 0\} \\ \frac{1}{l_{41}^2} \{-6 + 4l_{41} c_{41} + 4l_{41} s_{41}, 0, 0, 0, 0, 0, 6 + 2l_{41} c_{41} + 2l_{41} s_{41}\} \end{array} \right\}$$

$$Q_2 = \left\{ \begin{array}{l} \frac{1}{l_{12}^2} \{6 + 2l_{12} c_{12} + 2l_{12} s_{12}, -6 + 4l_{12} c_{12} + 4l_{12} s_{12}, 0, 0, 0, 0, 0, 0\} \\ \frac{1}{l_{24}^2} \{0, 0, 0, -6 - 4l_{24} c_{24} - 4l_{24} s_{24}, 0, 0, 0, 6 - 2l_{24} c_{24} - 2l_{24} s_{24}\} \\ \frac{1}{l_{23}^2} \{0, 0, 0, -6 - 4l_{23} c_{23} - 4l_{23} s_{23}, 6 - 2l_{23} c_{23} - 2l_{23} s_{23}, 0, 0, 0\} \end{array} \right\}$$

$$Q_3 = \left\{ \begin{array}{l} \frac{1}{l_{23}^2} \{0, 0, 0, 6 + 2l_{23} c_{23} + 2l_{23} s_{23}, -6 + 4l_{23} c_{23} + 4l_{23} s_{23}, 0, 0, 0\} \\ \frac{1}{l_{13}^2} \{6 + 2l_{13} c_{13} + 2l_{13} s_{13}, 0, 0, 0, -6 + 4l_{13} c_{13} + 4l_{13} s_{13}, 0, 0, 0\} \\ \frac{1}{l_{34}^2} \{0, 0, 0, 0, 0, -6 - 4l_{34} c_{34} - 4l_{34} s_{34}, 6 + 2l_{34} c_{34} + 2l_{34} s_{34}\} \end{array} \right\}$$

$$Q_4 = \left\{ \begin{array}{l} \frac{1}{l_{41}^2} \{-6 - 2l_{41} c_{41} - 2l_{41} s_{41}, 0, 0, 0, 0, 0, -6 - 4l_{41} c_{41} - 4l_{41} s_{41}\} \\ \frac{1}{l_{24}^2} \{0, 0, 0, 6 + 2l_{24} c_{24} + 2l_{24} s_{24}, 0, 0, 0, -6 + 4l_{24} c_{24} + 4l_{24} s_{24}\} \\ \frac{1}{l_{34}^2} \{0, 0, 0, 0, 0, 6 + 2l_{34} c_{34} + 2l_{34} s_{34}, -6 + 4l_{34} c_{34} + 4l_{34} s_{34}\} \end{array} \right\}$$

شکل کلی قالب ۴۹ عاملی برای صفحه چهار پهلوی خمثی:

$\alpha$	$\beta_{11}$	$\beta_{12}$	$\beta_{13}$	$\beta_{14}$	$\beta_{15}$	$\beta_{16}$	$\beta_{17}$	$\beta_{18}$
	$\beta_{21}$	$\beta_{22}$	$\beta_{23}$	$\beta_{24}$	$\beta_{25}$	$\beta_{26}$	$\beta_{27}$	$\beta_{28}$
	$\beta_{31}$	$\beta_{32}$	$\beta_{33}$	$\beta_{34}$	$\beta_{35}$	$\beta_{36}$	$\beta_{37}$	$\beta_{38}$
	$\beta_{41}$	$\beta_{42}$	$\beta_{43}$	$\beta_{44}$	$\beta_{45}$	$\beta_{46}$	$\beta_{47}$	$\beta_{48}$
	$\beta_{51}$	$\beta_{52}$	$\beta_{53}$	$\beta_{54}$	$\beta_{55}$	$\beta_{56}$	$\beta_{57}$	$\beta_{58}$
	$\beta_{61}$	$\beta_{62}$	$\beta_{63}$	$\beta_{64}$	$\beta_{65}$	$\beta_{66}$	$\beta_{67}$	$\beta_{68}$